

تحضير وتشخيص بعض مركبات اميدات السلفا ودراسة فاعليتها المضادة للبكتيريا

ميمونه حميد خضرير^{1*}, عبدالمجيد صالح حمد², اسيل مقداد حاتم³

1- قسم الكيمياء ، كلية التربية، جامعة سامراء (mymwnthmyd777@gmail.com)

2- قسم الكيمياء التطبيقية، كلية العلوم التطبيقية، جامعة سامراء

3- قسم التحاليل المرضية، كلية العلوم التطبيقية، جامعة سامراء

البحث مستل من رسالة ماجستير الباحث الأول

الخلاصة:

معلومات البحث:

يتضمن البحث تحضير من مشتقات الهبتاتر ايدين الحلقى اميدات السلفا حاوية على امينات وتقدير فاعليتها البايولوجية ان المركبات المحضرة اميدات السلفا. تم تشخيص البعض منها بواسطة تقنيات IR , ^{13}C -NMR, ^1H -NMR وتقدير الفعالية البايولوجية للمركبات فقد تم القياس على اساس قياس قطر التثبيط الذي تسببه العزلات البكتيريه على الوسط الزراعي واظهر تثبيط عالي لبعض المركبات والبعض منها كانت قليلة تجاه البكتيريا. اظهر احد المركبات فعالية كبيرة ضد البكتيريا *E.coli* نصف قطر تثبيط 18 ملم بينما المركب الاخر اظهر فعالية ضد البكتيريا *E.coli*, *S. aureues* انصاف اقطار تثبيط 17 و 7 ملم على التوالي وكذلك اظهر مركب اخر فعالية تجاه بكتيريا *S. pneumonia* بنصف قطر تثبيط 8 ملم ، أما بعض منها لم تظهر فعالية ضد *S. S. pneumoniae*, *pyogenes* ،

تأريخ الاستلام: 2020/11/19

تأريخ القبول: 2021/01/09

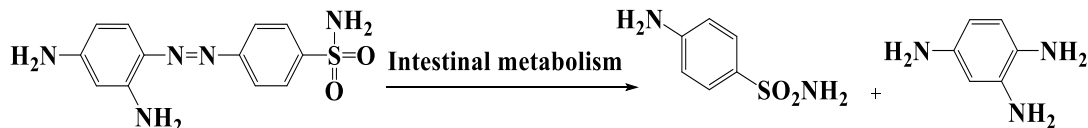
الكلمات المفتاحية:

اميادات السلفا ، الفعالية ضد البكتيريا،
المركبات الحلقية غير المتجانسة

المقدمة:

تشكل المركبات الحلقية غير المتجانسة أكبر مجموعة من المركبات العضوية وأكثرها تنوعاً. يوجد اليوم الكثير من المركبات الحلقية غير المتجانسة، وتزيد اعدادها بسرعة بسبب الأبحاث الهائلة التي تجري عليها وأيضاً فائدتها بسبب استعمالها. للمركبات غير المتجانسة دور في معظم مجالات العلوم مثل الكيمياء الطبية والكيمياء الحيوية، وأن معظم المركبات الحلقية غير المتجانسة النشطة بيولوجياً التي تم تصنيعها أو استخلاصها مؤخراً من النباتات [2,1] و كذلك لأن المركبات الحلقية غير المتجانسة ذات أهمية كبيرة بسبب انتشارها الواسع في الطبيعة فهي تدخل في تركيب الكثير من المركبات العضوية الضرورية في التكوين الأساسي للحياة[3] تمتلك اميدات السلفا الصيغة العامة $\text{Ar}-\text{SO}_2-\text{NH}_2$ المجموعة الفعالة هي SO_2-NH_2 وهذه المركبات استعمالات دوائية كثيرة لامتلاكها العديد من الانشطة البايولوجية [4] مضاداً للغدة الدرقية [5] وكذلك لخفض مستوى سكر الدم [6]، مضاد للأورام [8,7] anti-tumour [10,9] diuretic [11]، مضاد للبول [12] anti-obesity [13] مضاد مضاد للجراثيم Anti-bacterial [14]، و تستعمل ايضاً محاليله بنسبة 30% في معالجة التهابات الأنف والأذن والحنجرة و يبعد من احد ادوية السلفا المثبتة لعمل البكتيريا لذلك تشكل هذه المركبات صنفاً مهماً من العقاقير[15]. تعد مركبات السلفا أو اميدات سلفا أحد أول مثبتات الميكروبات، ويقوم كاتزيم بكتيري بتصنيع حامض الفوليك الذي تم اكتشافه عام 1930 بوساطة العالم الألماني Domajk في الجسم ويصبح نشطاً داخل الجسم، وأن اغلب مركبات Sulfonamides مشتقه من Amino benzoic acid الذي تحتاجه البكتيريا لبناء حامض الفوليك، لذلك فإن أدوية السلفا فعالة في تثبيط عمل البكتيريا[4]، وتؤدي الاختلافات في المجموعة الوظيفية (RSO_2NH_2) إلى ظهور خصائص فسيولوجية وكيميائية ودوائية مختلفة لهذه الأدوية،

فالتعويض عن ذرة النيتروجين الكبريتى يؤدى إلى إنتاج حامض Sulfanilamide الأقوى والتعويض مع مجموعة SO_3H بدلًا من SO_2NH_2 لاميد السلفا الذى يؤدى إلى القضاء على الفعالية البيلوجية للبكتيريا [16]. إن Sulfanoamides التي تمتلك مجموعة أمينية حرّة تظهر فقط فعالة ضد البكتيريا، أما لديها معرض على المجموعة الأمينية الحرّة تصبح فعالة فقط عندما يتم إزالة التعويض داخل الجسم ولهذا السبب في أن Prontosil غير فعال خارج الجسم. تعد صبغة azo الحمراء المعروفة باسم Prontosil من أوائل Sulfonamides التي حدّتها Domagk كما في المخطط 1 ، وان Prontosil يتحلل في الأمعاء بوساطة البكتيريا الى sulfanilamide P-amino sulphonamide ليعطي مجموعة الاماء [17]



المخطط 1: تحل Prontosil في الأمعاء.

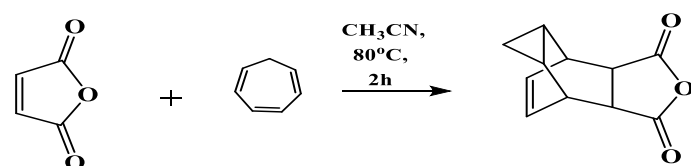
المواد وطرائق العمل
تحضير المركبات (M_1 - M_5):

تفاعل أندريد الماليك مع Cycloheptatriene

حضر المركب (M_1) بطريقة مشابهة لما ذكر في الادبيات [18] إذ مزج الهبتاترايني الحلقي (11g, 0.1mol) مع اندرید الماليك (10.5g, 0.1mol) في مذيب اسيتونترييل (20ml) وسخن محلول إلى درجة حرارة 80°C لمدة 2 ساعه وبمتابعة TLC اظهر اكمال التفاعل بمزيج (Ethanol:n-Hexane) (0.25:1ml) ترك التفاعل جانبا ولمدة 2 ساعه، ثم التخلص من المذيب بواسطة المبخر الدوار وجمع الراسب الذي تم اعادته بلورته باستخدام خليط من (خلات الأثيل: ن-هكسان) بنسبة (1:3)، فأعطيت بلورات بيضاء للمركب (M_1) كما في "المخطط 2":

(4R,4aR,5aS,6S)-3-methylene-3,3a,4,4a,5,5a,6,6a-octahydro-1H-4,6-ethenocyclopropa[f]isobenzofuran-1-one(M_1)

جفت البلورات وقيست درجة انصهارها فوُجِدَت (10.75gm., 50%) وبنسبة منتوج (105-107°C).



المخطط 2: معادلة تحضير المركب (M_1)

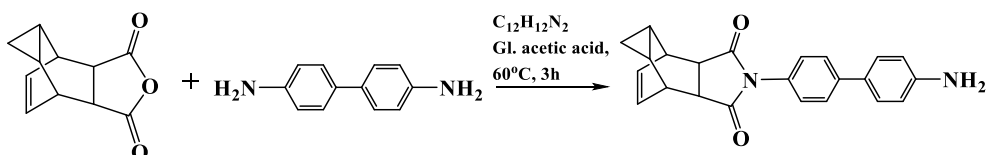
تفاعل M_1 مع 4'-amino-[1,1'-biphenyl]-4-aminium

حضر المركب (M_2) بطريقة مشابهة لما ذكر في الادبيات [18] من اضافه (2.20gm,0.01mol) من المركب M_1 و الى 10ml من حامض الخليك الثلجي وتم اضافة (1gm,0.01mol) من مشتقات الامين، وسخن محلول الى درجة حرارة 60°C لمدة 3 ساعات وبمتابعة TLC بمزيج من الايثانول: خلات الايثيل بنسبة (0.25:1ml) اظهر اكمال التفاعل برد المزيج وغسل بالماء المقطر وتم الحصول على بلورات وتمت اعادة بلورته فأعطيت بلورات صفراء للمركب (M_2) كما في المخطط 3 و الجدول 1.

4-(R,4aR,5aS,6S)-2-(4'-amino-[1,1'-biphenyl]-4-yl)4,4a,5,5a,6,6a-hexahydro-4,6-ethenocyclopropa[f]isoindole-1,3 (2H,3aH)-dione(M_3)

جفت البلورات وقيست درجة انصهارها فوُجِدَت (1.5gm, 50%) وبنسبة منتوج (118-120°C).

ν_{max} (KBr): 3008cm⁻¹ (CH-aromat.) ; 2952cm⁻¹ (CH-aliph.) ; 1658cm⁻¹ (C=O) ; 1500cm⁻¹ (C=C); 1226 cm⁻¹(C-N); 3436, 3352cm⁻¹(NH₂)



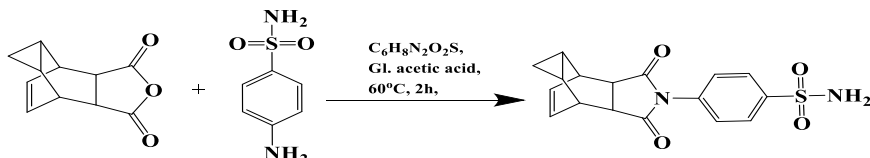
المخطط 3: معادلة تحضير المركب (M₂)

تفاعل M₁ مع benzenesulfonamide

حضر المركب M₄ بطريقة مشابهة لما ذكر في الادبيات [18] إذ مزج المركب M₁ مع مركب أميد السفا (0.905gm, 0.005mol) في حامض الخليك الثلجي 10ml وسخن محلول إلى درجة حرارة 60°C لمدة (2) ساعة وبمتابعة الـ TLC بمزيج من Ethylacetat:Ethanol بنسبة (0.25:1ml) اظهر اكمال التفاعل برد المزيج وغسل بالماء المقطر وتم الحصول على بلورات وتمت اعادة بلورتها با Ethanol, فأعطيت بلورات وردية للمركب M₃ كما في المخطط 4"

4-((4R,4aR,5aS,6S)-1,3-dioxo-3,3a,4,4a,5,5a,6,6a-octahydro-4,6-ethenocyclopropa[f]isoindol-2(1H)-yl)benzenesulfonamide(M₄)

Pink crystals, m.p., 170-171°C ; (Yield: 1.5gm, 78%); 3097cm⁻¹ (CH-aromat.) ; 2945cm⁻¹ (CH-aliph.) ; 1770cm⁻¹ (C=O) ; 1492cm⁻¹ (C=C); 1294cm⁻¹(C-N); 3409, 3288cm⁻¹(NH₂); 1168, 1344cm⁻¹ (S=O); 609cm⁻¹(S=O); ¹H-NMR (DMSO-d₆): δ 6.85ppm (N-H₂, s) ; δ 7.93-7.47(4H, dd, aromatic) ; δ 2.53ppm (2H, s, H_{4,8}) ; δ 1.20ppm(2H, s, H_{5,7}) ; δ 0.28:0.10ppm (2H, s, H₆) ; δ 5.80 ppm(2H, s, H_{9,10}) ; δ 3.41ppm(4H, s, H_{11,12}).¹³C-NMR (DMSO-d₆): δ 145.12ppm (C₁, aromatic) ; δ 128.03-122.03ppm (C_{2,2,3,3}); δ 144.12(C₄, aromatic) ; δ 177.65(C_{5,15} carbonel) ; δ 45.48(C_{6,10}); δ 9.88ppm (C_{7,9}); δ 9.91ppm(C₈) ; δ 135.38ppm (C_{11,12}) ; δ 40.47ppm (C_{13,14})



المخطط 4 : معادلة تحضير المركب (M₃)

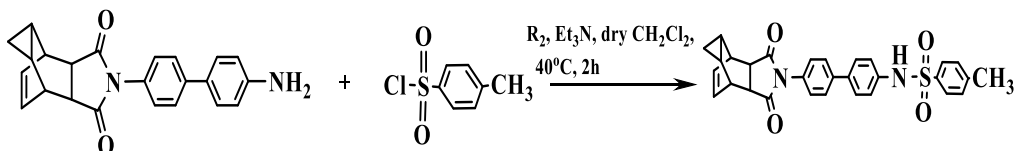
تفاعل M₃ مع 4-(methylbenzenesulfonyl chloride)

حضر المركب M₄ إذ مزج المركب M₃ (1.86gm,0.005mol) مع كلورو سلفونك (1gm,0.005mol) إلى ثانوي كلوروميثان الجاف كمذيب وتم اضافة كمية مضاعفة (1.05gm) من ثلاثي اثيل امين و سخن المزيج على درجة حرارة 40°C لمدة (2) ساعة , وبمتابعة الـ TLC باستخدام مزيج (n-Hexeane:Ethylacetat) (1:0.5ml) الذي اظهر اكمال التفاعل, و يعامل بخلط من الماء وكاربونات الصوديوم مع التحريك حتى يصبح الوسط متعدلا وبعدها رج المزيج جيداً فصلت الطبقة العضوية وجفت باستخدام كبريتات المغنيسيوم اللامائية. ثم رُشحت الكبريتات وبُخر المذيب بواسطة المبخر الدوار, تم الحصول على مادة لزجة عُولمت بالايثر مرات عديدة للتخلص من اللزوجة, أخذت الرواسب المتبقية وتمت اعادة بلورتها, فأعطيت بلورات بيضاء كما في "المخطط 5" و "الجدول 1":

N-(4'-(4R,4aR,5aS,6S)-1,3-dioxo-3,3a,4,4a,5,5a,6,6a-octahydro-4,6-ethenocyclopropa[f]isoindol-2(1H)-yl)-[1,1'-biphenyl]-4-yl)-4-methyl benzenesulfonamide(M₄)

Beige crystals, m.p., 230-231°C; (Yield: 1.5g, 52%); ν_{max} (KBr): 3008cm⁻¹ (CH-aromat.); 2954cm⁻¹ (CH-aliph.); 1670cm⁻¹ (C=O); 1556cm⁻¹ (C=C); 1089cm⁻¹(C-N); 3452, 3370cm⁻¹ (NH₂); 1174, 1375cm⁻¹ (S=O); 594cm⁻¹ (S=O); ¹H-NMR (DMSO-d₆): δ 9.11 ppm (N-H, s) ; δ 2.45ppm (C-H₃, s) ; δ 7.76-7.18(4H, dd, aromatic) ; δ 7.11- 7.09(4H, dd, aromatic) ; δ 7.21-

7.66(4H, dd, aromatic) ; δ 2.29ppm (2H, m, H_{9,13}); δ1.23ppm (2H, m, H_{10,12}) ; δ 0.28:0.07ppm (2H, m, H₁₁) ; δ 5.70ppm(2H, s, H_{14,15}) ;δ3.37ppm(4H, m ,H_{16,17}). ¹³C-NMR (DMSO-d₆); δ33.75 (C₁,aromatic);δ136.39ppm(C₂) ; δ 128.62-124.05ppm (C_{3,3,4,4-}); δ136.39(C₅ aromatic) ; δ138.39(C₆ aromatic) ; δ 126.04-113.04ppm (C_{7,7,8,8--}); δ141.39(C₉, aromatic);δ141.39(C₁₀,aromatic); δ 128.71-124.75ppm (C_{11,12}); δ136.39(C₁₃ aromatic) ; δ176.65(C_{14,24} Carbonel);δ 45.39(C_{15,19}) ;δ 9.93ppm (C_{16,18}); δ9.87ppm(C₁₇) ;δ133.38ppm (C_{20,21}) ; δ42.50ppm(C_{22,23})



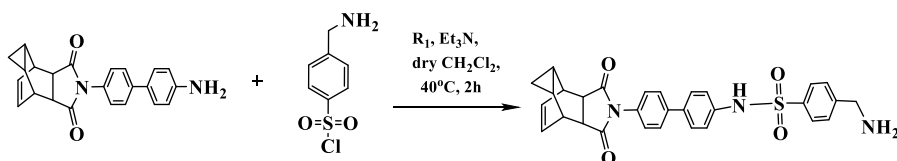
المخطط 5: معادلة تحضير المركب (M₄)

تفاعل M₃ مع M₅

حضر المركب M₅ أذ مزج المركب M₃ (1gm,0.008mol) مع كلوروسلفونك (1.73gm,0.008mol) الى 10ml من ثنائي كلوروميثان الجاف وتم اضافة كمية مضاعفة (0.49gm) وسخن محلول إلى درجة حرارة 40°C لمدة (2) ساعه وبمتابعة TLC اظهر اكمال التفاعل بمزيج من الايثانول: خلات الايثيل بنسبة (0.25:1ml) اظهر اكمال التفاعل برد المزيج يعامل التفاعل بخلط من الماء وكarbonات الصوديوم مع التحريك حتى يصبح الوسط متعدلاً وبعد رج المزيج جيداً فصلت الطبقة العضوية وجفت باستخدام كبريتات المغنيسيوم الالمانية. ثم رُشحت الكبريتات وبُخر المذيب بواسطة المبخر الدوار، تم الحصول على مادة لزجة عمّلت بالايثر مرات عديدة للتخلص من اللزوجة، أخذت الرواسب المتبقية وتمت إعادة بلورتها فأعطيت بلورات ترايه اللون لأحظ "المخطط 6" و"الجدول 1":

4-((λ⁴ azaneyl)methyl)-N-(4'-((4R,4aR,5aS,6S)-1,3-dioxo-3,3a,4,4a, 5,5a,6,6a-octahydro-4,6-ethenocyclopropa[f]isoindol-2(1H)-yl)-[1,1'-biphenyl]-4-yl)benzenesulfonamide(M₅)

White crystals, m.p., 250-254° C ; (Yield: 1.6g, 60%); ν_{max} (KBr): 3056cm⁻¹ (CH-aromat.); 2970cm⁻¹ (CH- aliph.); 1660cm⁻¹ (C=O); 1550cm⁻¹ (C=C);1317cm⁻¹(C-N); 3344cm⁻¹ (NH₂); 1172, 1375cm⁻¹ (S=O); 543cm⁻¹ (S=O); ¹H-NMR (DMSO-d₆): δ9.85ppm (N-H, s) ; δ 8.12ppm (N-H₂, s) ; δ 4.01ppm (C-H₂, s) ; δ 7.61-7.36(4H, dd, aromatic) ; δ 7.10-6.99(4H, dd, aromatic) ; δ 7.76-7.20(4H, dd, aromatic) ; δ 2.49ppm (2H, m, H_{10, 14}); δ1.29ppm(2H, m, H_{11, 13}) ; δ 0.28:0.03 ppm (2H, m, H₁₂) ; δ 5.83 ppm(2H, m, H_{15, 16}) ; δ 3.45ppm(4H, m, H_{17, 18}). ¹³C-NMR (DMSO-d₆); δ45.39(C₁,aromatic); δ148.39ppm(C₂) ; δ 124.75-124.05ppm (C_{3,3,4,4-}); δ137.48(C₅ aromatic) ; δ137.39(C₆ aromatic); δ 126.04-112.78ppm (C_{7,7,8,8--}); δ136.39(C₉, aromatic); δ136.39(C₁₀, aromatic); δ126.04-124.75ppm (C_{11,12}); δ128.71(C₁₃ aromatic) ; δ177.65 (C_{14,24} Carbonel);δ 42.50(C_{15,19}) ;δ9.93ppm (C_{16,18}); δ9.64ppm(C₁₇) ; δ128.62 ppm (C_{20,21}) ; δ40.45ppm(C_{22,23}) ;



المخطط (6): معادلة تحضير المركب (M₅)

طرق تحضير الاطباق والبكتيريا
تحضير وسط أجار مولر-هينتون: Prepare Mueller-Hinton agar medium

تم تحضير Mueller-Hinton Agar وفقاً لتعليمات الشركة الصانعة عن طريق إضافة 38 جم من مسحوق أجار مغذي وجاف إلى لتر من الماء المقطر في دورق مخروطي، ويتم تسخين الخليط حتى يذوب، ثم يغلق فوهة الفارورة بالقطن، وتعقيم متوسط لمدة 30 دقيقة مع جهاز التعقيم، ودرجة حرارة 121 درجة مئوية، ضغط 1.5 بار. تم تبريد الوسط إلى 30 درجة مئوية وصب في أطباق بتري قطرة 12cm ب معدل 15ml بارتفاع 1cm لكل طبق وحُضنَت بالحاضنة لمدة 24 ساعة للتخلص من بخار الماء ولمعرفة مدى سلامة الأكاكار من التلوث، ثم وضعت بالثلاجة 24 ساعة لغرض التصلب التام للأكاكار، ثم جرى استخدامها بعد ذلك.

Prepare bacteria

تم تحضير جميع الكائنات الحية المختبرة مسبقاً على ألواح الأجراء المغذية (KS, Lenexa, Oxoid) المحضرة عند 37 درجة مئوية لمدة 24 ساعة ، وتم تحضير المعلقات البكتيرية لكل من العزلات النافية ومصدرها(مصدر العزلات البكتيريا السالبة لصيغة كرام (E.coli) من التهابات المسالك البولية(Urin sample of UTI) و مصدر العزلات البكتيريا الموجبة لصيغة الكرام (Streptococcus pneumoniae, streptococcus pyogenes, staphylococcus aerus) من التهابات اللوزتين(tonsilitis) حيث عزلت من عيادات مرضى من مستشفى تكريت) بعد الزراعة الأولية ، في أنابيب المغذيات مع McFarland 0.6 اللازمة لاختبار المضاد للبكتيريا في المختبر. اختبرنا البكتيريا سالبة الجرام، ايشريجيا القولونية والمكورات العقدية الرئوية، والبكتيريا إيجابية الجرام العقدية المقحة، المكورات العنقودية الذهبية.

تحضير البكتيريا

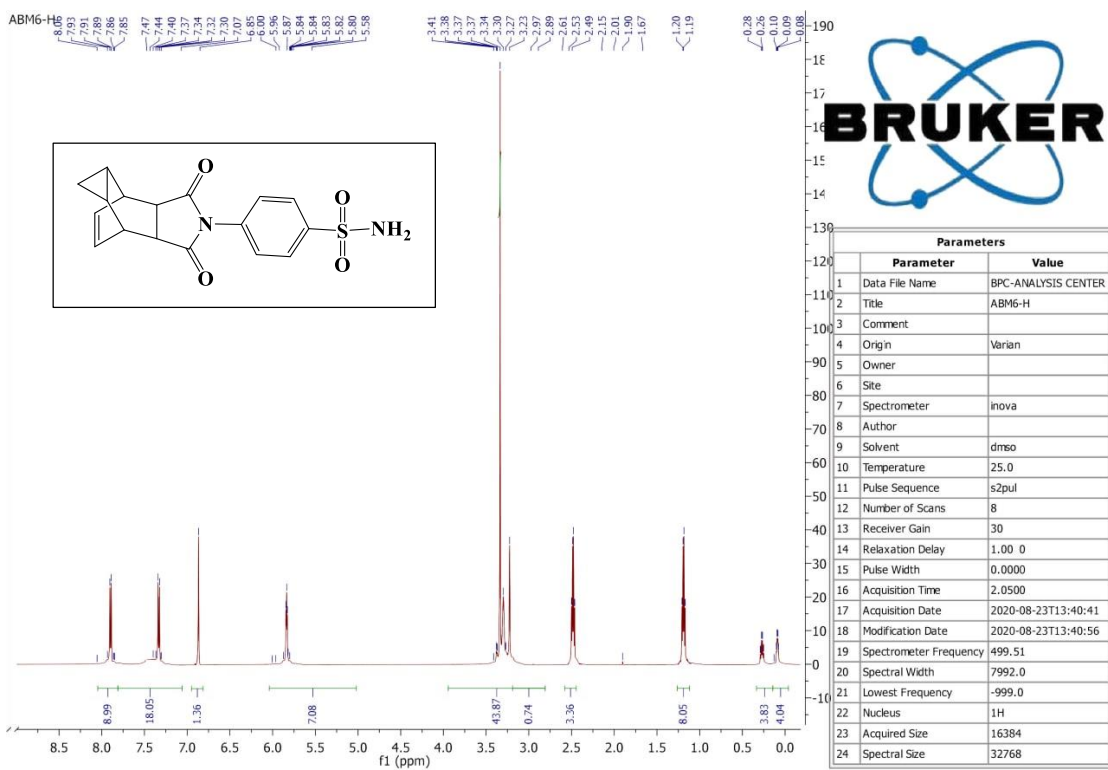
تقنية نشر واختبار تقدير الحد الأدنى للتركيز المثبط
 حضرت محليل تحضير المركبات المحضرة من اذابة g 0.05 في 1 ml DMSO لكل مركب واحدt 40, 26,10,5,2.5,1.85 مايكرو ليتر وخففت الى 1ml من DMSO لتعطي التراكيز الآتية 100,50,25,12.5,6.25,3.125 مايكرو غرام / مل على التوالي أخذ 50ml من التراكيز الأخير ليحتوي كل واحد منها على, 100, 50, 25, 12.5, 6.25, 3.25 مايكروليتر وأضيفت الى الحفر تم تحضير اطباق مولر اكاكار هنتون لاختبار تثبيط المركبات للبكتيريا بعد ذلك، تم اختبار MIC الذي تم إجراؤه بتراكيز أقل للمثبتات للمركبات المحضرة M₁₃-M₄ عن طريق الانتشار (انتشار جيد) في وتم نشر كل تعليق ميكروبي على سطح الأطباق باستخدام قطعة قطن معقمة. ثم تم عمل ثقوب متسلالية قطرها 6 ملم باستخدام حفار معقم. يضاف 0.05 مل من كل تركيز محضر إلى الثقب المقابل. تم تحضيرن الأطباق عند 37 درجة مئوية لمدة 24 ساعة. تم تحديد النشاط المضاد للبكتيريا عن طريق قياس قطر منطقة التثبيط حول كل ثقب في ملم. وقارنت تلك المركبات مع المضادات الحيوية Azithromycin 15mcg Cephalosporin 30mcg, Amoxicillin 20mcg, Ampicillin,25mcg و Ciprofloxacin 30mcg Doxycycline 30mcg [19].

النتائج والمناقشة

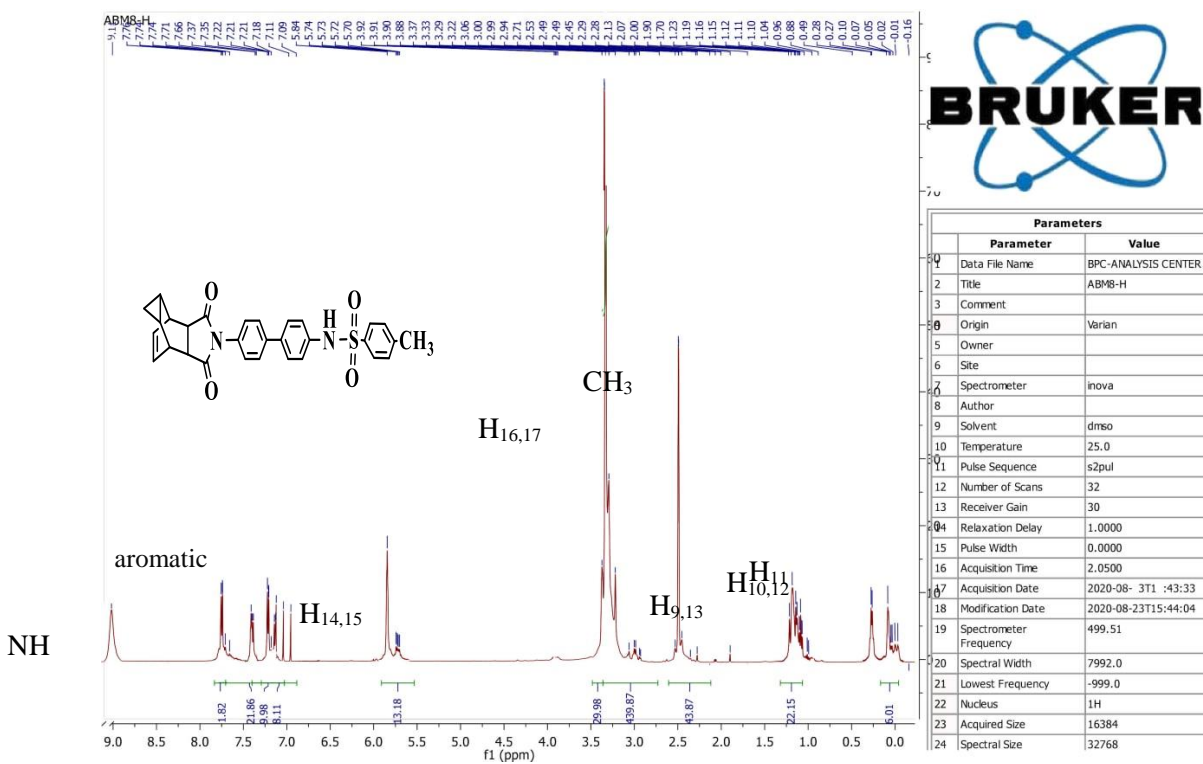
تم تشخيص المركبات المحضرة M₅-M₁ وطيف الرنين النووي المغناطيسي للبروتون ¹H-NMR وللкарبون ¹³C-NMR وتم التأكيد من حصول التفاعل من خلال ملاحظة التغيرات التي حصلت على الصفات الفيزيائية من درجة الانصهار والتغير الكبير في اللون فضلاً عن التأكيد من نقاوة الناتج، ومتتابعة سير التفاعل باستخدام تقنية TLC من خلال قياسات اطيف الأشعة تحت الحمراء IR ، وان تقنية IR مهمة جداً في التشخيص العضوي للمركبات المحضرة في الحالتين السائلة والصلبة، حيث توفر هذه التقنية معلومات مفيدة عن المجاميع الفعالة فضلاً عن انها تستعمل لتعيين التركيب الهندسي للمركبات العضوية، فعلى سبيل المثال، تحتوي المركبات الاميدية على مجاميع فعالة مثل C=C, C=O, NH وكذلك تقنية ¹³C IR لهذه المركبات تظهر امتصاصات، عديدة فبعض المركبات أظهرت هذه حزم مط-C-H الاروماتيه بين 2902-2995cm⁻¹ وحزم مط الكاربونيل بين 1606-1444cm⁻¹ و 1573cm⁻¹ وحزم مط الاواصر المزدوجة بين 3093-3010cm⁻¹ [20] ظهور حزم مط-C-H بين 1184-1132 cm⁻¹ تعود الى C=C [21] ظهور حزمتين عند الموضع 1362-1333 cm⁻¹، اما تقنية اطيف ¹H-NMR حيث تعد هذه التقنية مهمة جداً في التشخيص العضوي للمركبات المحضرة في الحالة السائلة، اذ توفر هذه التقنية معلومات مفيدة عن عدد ونوع البروتونات التي يحتويها ومكان تواجدها في المركب العضوي اذا كان المركب اليافتي او اروماتي، فهي تعطي تشخيص ادق من تقنية IR، ولها دور كبير للتمييز بين المركبات ، فأظهرت المركبات المشخصة M₃-M₅ اما تقنية اطيف ¹³C-NMR حيث تعد هذه التقنية مهمة جداً لاتعد من المركبات التي ينطبق عليها قانون الاشتراك البسيط للإشارات (n+1)، ويعزى السبب في ذلك هو عدم وجود تكافؤ في ذرات الهيدروجين لمجموعة CH₂ مغناطيسيآ بينما كيميائياً تكون متكافئة. ولكن حل هذه المنطقة المعقدة من الطيف تحتاج الى تقنيات طيفية أخرى كتقنية فك الاقتران Decoupling irradiation وايضاً تقنيات M13 2D-¹H- NMR و 2D-¹³C-NMR، وظهرت مجموعة CH₃ اشارة واحدة منفردة من 2.0-3.0ppm للمركب

وظهرت اشارات عريضة مفردة من C=C اشارات من 6.5- 6.5ppm للمركب M₃-M₅ وظهرت اشارات من NH₂ اشارات من 6.5- 7.5ppm وظهرت الحلقة الاروماتيه اشارات من 6.5-8.5ppm [24] و كما مبين في الجدول (1) : **الجدول 1** : الفعالية المضادة للبكتيريا للمركبات المحضرة لنمو عدد من الجراثيم السالبة والمحبطة (قطر دائرة التثبيط مقاسة بـ ملم).

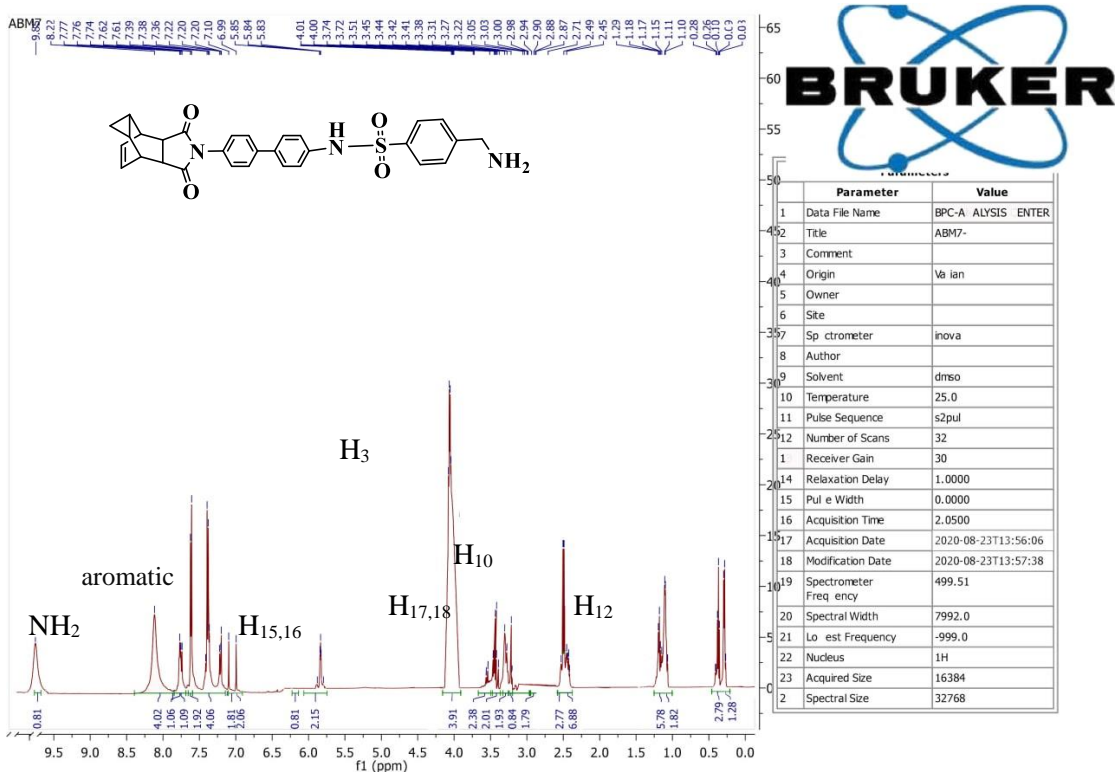
Compd No.	Compd. Structure of	Chemical shift δ)ppm(No of Carbon	T	Type of proton
M ₄		3.41 5.80 0.28:0.10 1.20 2.53 7.93-7.47 6.85	m m m m m dd S	2H 2H 2H 2H 2H 2H 4H 2H	H _{11, 12} H _{9, 10} H ₆ H _{5, 7} H _{4, 8} H _{2, 2-, 3, 3-} H _{1,}
M ₁₂		3.37 5.70 0.28:0.07 1.23 2.29 7.21-7.66 7.11-7.09 7.76 -7.18 9.11 2.45	m m m m dd dd dd m S	2H 2H 2H 2H 2H 4H 4H 4H 1H 3H	H _{16, 17} H _{14, 15} H ₁₁ H _{10, 12} H _{9, 13} H _{7, 7-, 8, 8-} H _{5, 5-, 6, 6-} H _{3, 3-, 4, 4-} H ₂ CH ₃
M ₁₃		3.45 5.83 0.28:0.03 1.29 2.49 7.61-7.36 7.10-6.99 7.76-7.20 4.01 9.85 8.12	m m m m m dd dd dd S S S	2H 2H 2H 2H 2H 4H 4H 4H 4H 2H 1H 3H	H _{17, 18} H _{15, 16} H ₁₂ H _{11, 13} H _{10, 14} H _{8, 8-, 9, 9-} H _{6, 6-, 7, 7-} H _{4, 4-, 5, 5-} H ₃ H ₂ H ₁



شكل(1) طيف الرنين النووي المغناطيسي H-NMR



شكل (2) طيف الرنين النووي المغناطيسي H-NMR للمركب M₄



شكل(3) طيف الرنين النووي المغناطيسي ¹H-NMR للمركب M₅

اما بالنسبة لتقنية ¹³C-NMR ، حيث تعد هذه التقنية مهمة جدا في التشخيص العضوي للمركبات المحضرة في الحالة السائلة، حيث توفر هذه التقنية معلومات مفيدة عن عدد ذرات الكربون التي يحتويها ومكان تواجدها في المركبات العضوية. فأظهرت ذرات الكربون الواقعة بين ذرة النايتروجين ومجموعة الكاربونيل للمركبات فأظهرت إشارات بين 178-170PPM والسبب بوجود ذرة C بهذا المدى هو مجموعة الكاربونيل الساحبة للألكترونات المجاورة لها من جهة ومن الجهة الأخرى وجود النايتروجين الدافع للألكترونات.اما مخصوص ذرات الكربون الألوروماتية للمركبات M₅-M₃ اظهيرت بين 100-140ppm [25] للمركبات M₃-M₅ واظهرت C=C اشارة عند 150 ppm اما الحلقات الاروماتيه اظهرت اشاره عند 110-175ppm اشارة عند CH₂ 15-55ppm واظهرت CH₃ اشارة عند 8-30ppm للمركب M₄ [24] والمركبات المحضرة كما مبين بالجدول (2) وأشكال أطيفات ¹³C-NMR للمركبات المحضرة (M₃-M₅) .

Compd No.	Compd. Structure of	Chemical shift δ ppm(No. of carbon	Type of carbon
M ₄		40.47 135.38 9.91 9.88 45.48 177.65 144.12 128.03-122.03 145.12	C _{13,14} C _{11, 12} C ₈ C _{7, 9} C _{6,10} C _{5,15} C ₄ C _{2, 2-, 3, 3-} C ₁	aliph aliph aliph aliph aliph carbonel aliph aromatic aromatic aromatic

M₁₂		42.50	C _{22,23}	aliph
		133.38	C _{20,21}	aliph
		9.87	C ₁₇	aliph
		9.93	C _{16,18}	aliph
		45.39	C _{15,19}	aliph
		176.65	C _{14,24}	carbonel
		136.39	C ₁₃	aliph
		128.71-124.75	C _{11, 12}	aromatic
		141.93	C ₁₀	aromatic
		141.93	C ₉	aromatic
		126.04-113.04	C _{7,7-8,8-}	aromatic
		138.39	C ₆	aromatic
		136.93	C ₅	aromatic
		128.62-124.05	C _{3,3-4,4-}	aromatic
		136.39	C ₂	aromatic
		33.75	C ₁	aliphatic
M₁₃		40.45	C _{22,23}	aliph
		128.62	C _{20,21}	aliph
		9.64	C ₁₇	aliph
		9.93	C _{16,18}	aliph
		42.50	C _{15,19}	aliph
		177.65	C _{14,24}	carbonel
		128.71	C ₁₃	aliph
		126.04-124.75	C _{11, 12}	aromatic
		136.39	C ₁₀	aromatic
		136.39	C ₉	aromatic
		126.04-112.78	C _{7,7-8,8-}	aromatic
		137.39	C ₆	aromatic
		137.48	C ₅	aromatic
		124.75-124.05	C _{3,3-4,4-}	aromatic
		148.93	C ₂	aromatic
		45.39	C ₁	aliphatic

وتم تقييم الفعالية البايولوجية لبعض المركبات اميدات السلفا المحضرة حيث تمتاز مركبات الحلقات غير المتجانسة بفعالية عالية تجاه البكتيريا الموجبة لصبغة كرام والسلبية لصبغة كرام على أربعة أنواع من البكتيريا وهي *Escherichia coli*, *Streptococcus pyogenes*, *Staphylococcus aureus*, *Streptococcus pneumonia* وقد تم اختيار هذه البكتيريا نظراً لأهميتها الطبية إذ أنها تسبب العديد من الأمراض، فضلاً عن ذلك فإنها تختلف في مقاومتها للمضادات الحيوية [30-26].

وتم استعمال المضادات الحيوية Doxycycline, Ciprofloxacin, Azithromycin, Ampicillin, Amoxicillin وكعبينات للسيطرة وكما في "الجدول 2" ، وقد تم تقييم الفعالية البايولوجية لبعض المركبات المحضرة باستخدام طريقة الحفر وطريقة الأقراص وقياس مستوى التثبيط (inhibition zone) وتشير النتائج إلى أن المركبات المحضرة تمتلك قدرة على تثبيط نمو البكتيريا المستخدمة بنوعيها الموجبة والسلبية لصبغة كرام بنسب متباعدة ولقد اظهر المركب M₃ مقاومة وتثبيط عند تركيز 25 μg/ml لأغلب انواع البكتيريا وان اعلى فعالية تجاه *E.coli* بنصف قطر تثبيط 5.5 mm على من المضاد الحيوي Azithromycin والذي اظهر بنصف قطر تثبيط 5.28 mm لبكتيريا *E.coli* واظهر فعالية تجاه بكتيريا *S. pyogenes* بنصف قطر تثبيط 3.5 mm اقل من المضاد الحيوي Doxycycline والذي اظهر بنصف قطر تثبيط 5.83mm لبكتيريا *S. pneumoniae* ولم تظهر فعالية تجاه بكتيريا *S. aureus* وتجاه بكتيريا *S. pneumoniae* للمركب M₄ الا انه اظهر المركب M₃ مقاومة وتثبيط عالية عند تركيز 100 μg/ml لأغلب انواع البكتيريا وان اعلى فعالية تجاه *E.coli* بنصف قطر تثبيط 18 mm

على من المضاد الحيوي Ampicillin والذي أظهر اظهر بنصف قطر تثبيط 9.28 mm لبكتيريا *E.coli* واظهر فعالية تجاه بكتيريا *S. pyogenes* بنصف قطر تثبيط 7.5 mm على من المضاد الحيوي Doxycycline والذي أظهر اظهر بنصف قطر تثبيط 5.83 mm لبكتيريا *S. pyogenes* وكذلك اظهر فعالية قوية تجاه بكتيريا *S. aureus* بنصف قطر تثبيط 4 mm من المضاد الحيوي Doxycycline والذي أظهر اظهر بنصف قطر تثبيط 3.143 mm لبكتيريا *S. aureus* وكانت لا توجد فعالية تجاه بكتيريا *S. pneumoniae* اما بالنسبة للمركب M₃ للمركب M₄ مقاومة وتثبيط عند التركيز 25 µg/ml لأغلب انواع البكتيريا وان اعلى فعالية تجاه *S. pneumoniae* بنصف قطر تثبيط 8 mm اعلى من المضاد الحيوي والذى اظهر بنصف قطر تثبيط 5.42 mm لبكتيريا *S. pneumoniae* واظهر فعالية تجاه بكتيريا *E.coli* بنصف قطر تثبيط 4.5 mm اقل من المضاد الحيوي Amoxicillin والذي اظهر بنصف قطر تثبيط 5.28 mm لبكتيريا *E.coli* وكذلك اظهر فعالية قوية تجاه بكتيريا *S. aureus* بنصف قطر تثبيط 4.5 mm اعلى من المضاد الحيوي Doxycycline والذي اظهر بنصف قطر تثبيط 3.143 mm لبكتيريا *S. pyogenes* وكانت لا توجد فعالية تجاه بكتيريا *S. aureus* للمركب M₄ الا انه اظهر المركب M₄ مقاومة وتثبيط عند تركيز 100 µg/ml لأغلب انواع البكتيريا وان اعلى فعالية تجاه *S. pneumoniae* بنصف قطر تثبيط 8 mm اعلى من المضاد الحيوي Ampicillin والذي اظهر اظهر بنصف قطر تثبيط 5.42 mm لبكتيريا *S. pneumoniae* واظهر فعالية تجاه بكتيريا *E.coli*, بنصف قطر تثبيط 4.5 mm اقل من المضاد الحيوي Amoxicillin والذي اظهر بنصف قطر تثبيط 5.28 mm لبكتيريا *E.coli* وذلك اظهر اقل من المضاد الحيوي Doxycycline 4.5 mm اعلى من المضاد الحيوي *S. aureus* بنصف قطر تثبيط 3.143 mm لبكتيريا *S. pneumoniae* وكانت لا توجد فعالية تجاه بكتيريا *S. aureus* للمركب M₅ الا انه اظهر المركب M₅ مقاومة وتثبيط عند التركيز 25 µg/ml لبكتيريا *S. pyogenes*, واظهر المركب M₅ مقاومة وتثبيط عند التركيز 10 mm لبكتيريا *S. aureus* و لم تظهر فعالية تجاه انواع البكتيريا *S. aureus* و *S. pyogenes* او *S. pneumoniae* الا انه اظهر المركب M₅ مقاومة وتثبيط عند التركيز 100 µg/ml لجميع انواع البكتيريا وان اعلى فعالية تجاه *E.coli* بنصف قطر تثبيط 17 mm اعلى من المضاد الحيوي Ciprofloxacin والذي اظهر بنصف قطر تثبيط 10 mm لبكتيريا *E.coli* واظهر فعالية تجاه بكتيريا *S. aureus* بنصف قطر تثبيط 7 mm اعلى من المضاد الحيوي Aziothromycin والتي اظهر بنصف قطر تثبيط 6.857 mm لبكتيريا *S. aureus* وكذلك اظهر فعالية قوية تجاه بكتيريا *S. pyogenes* بنصف قطر تثبيط 6.5 mm اعلى من المضاد الحيوي Aziothromycin والذي اظهر بنصف قطر تثبيط 4.42 mm لبكتيريا *S. pyogenes* واظهرت فعالية قليلة تجاه بكتيريا *S. pneumoniae* بنصف قطر تثبيط 4 mm اعلى من المضاد الحيوي Doxycycline والذي اظهر اظهر بنصف قطر تثبيط 3.714 mm لبكتيريا *S. pneumoniae* كما في "الجدول 3".

الجدول 3: الفعالية المضادة للبكتيريا للمركبات المحضرة لنمو عدد من الجراثيم السالبة والموجبة (قطر دائرة التثبيط مقاسة بـ ملم).

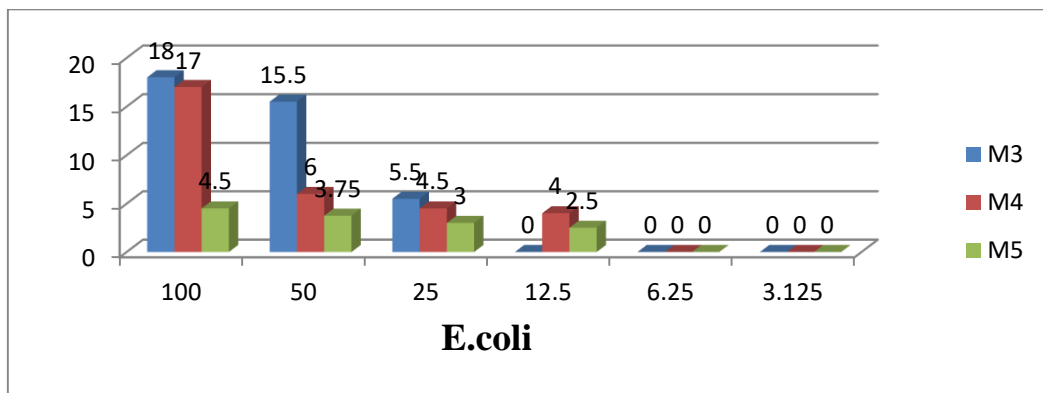
Comp. No.	Conc. µg/ml	<i>E. Coil</i>	<i>S. Pneumonia</i>	<i>S. Aureus</i>	<i>S. pyogenes</i>
M3	3.125	0	0	0	0
	6.25	0	0	0	0
	12.5	0	0	0	0
	25	5.5	0	0	3.5
	50	15.5	0	3	6.75
	100	18	0	4	7.5
M4	3.125	0	0	0	0
	6.25	0	0	0	0
	12.5	2.5	0	0	0
	25	3	0	0	0
	50	3.75	3.5	3	0
	100	4.5	8	4.5	0
M5	3.125	0	0	0	0
	6.25	0	0	0	0
	12.5	4	0	0	0
	25	4.5	2	3.4	2.5
	50	6	3	5.5	5.5

100	17	4	7	6.5
-----	----	---	---	-----

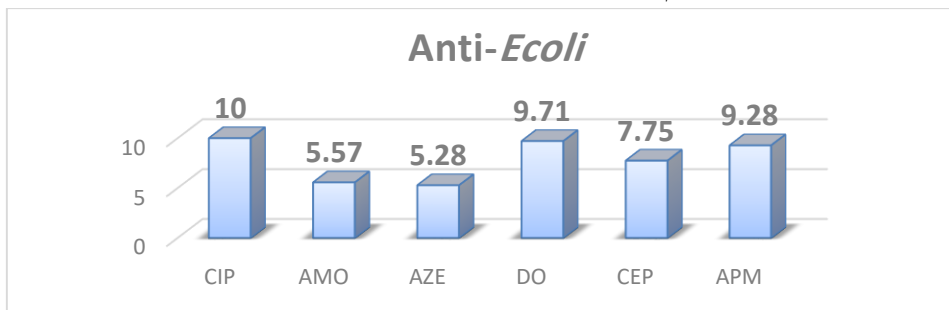
جدول 4: الفعالية المضادة للبكتيريا لمعاملات السيطرة (المضادات الحيوية) في نمو عدد من الجراثيم السالبة والموجبة (نصف قطر دائرة التثبيط مقاسة بـ ملم).

Comp. No.	Name	E. Coil	S. pneumonia	S. Aureus	S. pyogenes
1	Azithromycin	5.28	8.286	6.857	8.28
2	Ciprofloxacin	10	11.86	0	0
3	Cephalosporin	7.75	1.429	0	4
4	Ampicillin	9.28	1.571	1.143	4.83
5	Doxycycline	9.71	3.714	3.143	5.83
6	Amoxicillin	5.57	5.42	0	4.42

1- منعت المركبات الثلاثة المحضرة حديثاً M₃ و M₄ و M₅ نمو البكتيريا الايشريكية الفالونية بالتركيز 3.125 مايكروليتر، والمركبات M₃-M₅ من نفس السلسلة منعت نمو البكتيريا بالتركيز 100-25 مايكروليتر، من ناحية أخرى أظهرت المركبات M₄, M₅ التي تم اختبارها على بكتيريا *E.coli* اختلافات كبيرة في تركيزات 100-12.5 مايكروليتر، الا ان المركبات M₃ كانت البكتيريا مقلومة له ولم يظهر اي تثبيط، مقارنة بالمضادات الحيوية سيفالوسبيورين، سبروفلوكسين، أموكسيسيكلين، دوكسيسيكلين، مثل أزيثروميسين، اظهر المضاد الحيوي سبروفلوكسين اقوى فعالية تجاه البكتيريا وأظهر الأموكسيسيكلين، دوكسيسيكلين اقل فعالية مقارنتا بالنسبة إلى المضاد الحيوي سبروفلوكسين، واظهر سيفالوسبيورين، دوكسيسيكلين، أمبيسيكلين، فعالية قليلة جداً للبكتيريا لاحظ "الشكل 7 و 8" و "الجدول 3 و 4" قيم الفعالية التثبيطية لبعض المركبات المحضررة والمضادات الحيوية لبكتيريا *Escherichia coli* و "الشكل 15 ، 16".



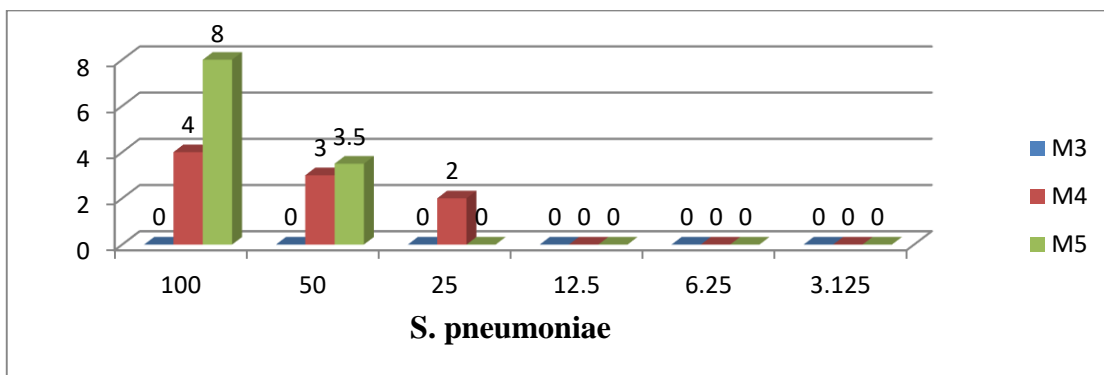
الشكل 7 : قيم الفعالية التثبيطية للمركبات تجاه بكتيريا *E. coli*



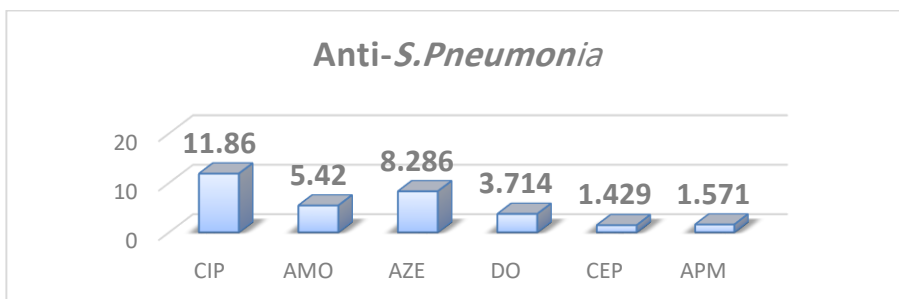
الشكل 8: قيم الفعالية التثبيطية لبعض المضادات الحيوية تجاه بكتيريا *E. coli*

2- المركبات M₅, M₄ تزيل الخواص المضادة للبكتيريا *streptococcus pneumonia* بتركيزات 12.5-100 مايكروليتر مع المضادات الحيوية المستخدمة في هذا البحث. يشير التحليل إلى أن المركبات التي تم تصنيعها ضد نفس البكتيريا تظهر أي نشاط مضاد للجراثيم أقل من 100 مايكروليتر.

3- كما أن المركبات M₄, M₅ كانت أكثر فاعلية في علاج العامل الممرض *streptococcus pneumonia* ، مما يدل على وجود فروق معنوية في المضادات الحيوية المستخدمة، اظهر المركب M₅ نشاطا ضد البكتيريا بالتراكيز 100-25 مايكلوليت، وأظهر المركب M₄ نشاطا قليل ضد البكتيريا بترانكيرز 6.25-100 مايكلوليت، الا ان المركب M₃ لم يظهر اي نشاط ضد البكتيريا وان اختلافات التي تم اختبارها على *streptococcus pneumonia* اختلافات كبيرة ضد جميع المضادات الحيوية المستخدمة، سيفالوسبورين، أزيثروميسين، سبروفلوكسرين، أموكسيسيكلين، دوكسيسيكلين، أمبيسيلين، وان المضاد الحيوي سبروفلوكسرين هو اقوى المضادات الحيوية تجاه البكتيريا، وان المضاد الحيوي أزيثروميسين هو اقل المضادات الحيوية تجاه البكتيريا، وان المضاد أموكسيسيكلين هو اقل فاعلية من ازيثروميسين، وان المضاد دوكسيسيكلين هو قليل الفاعلية، وان المضادات سيفالوسبورين، أمبيسيلين كانت فعاليتهم قليلة جدا. انظر "الشكل 9 و 10" قيم الفاعلية التثبيطية لبعض المركبات المحضررة والمضادات الحيوية لبكتيريا *S. pneumonia* الجدول 3 و 4 و "الشكل 15" :

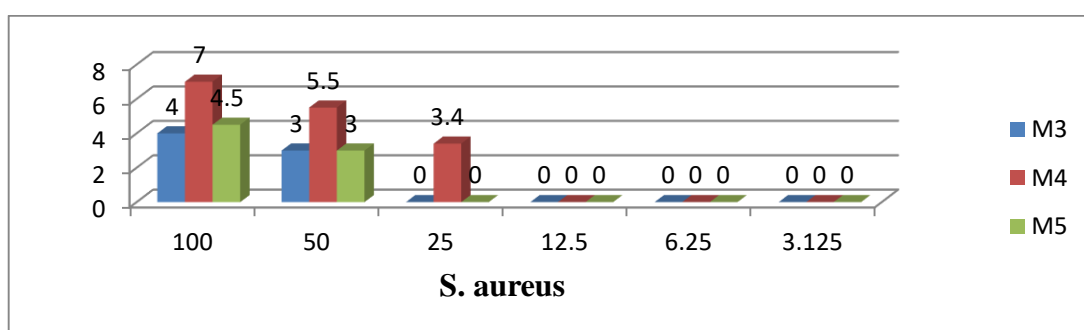


الشكل 9: قيم الفاعلية التثبيطية للمركبات تجاه بكتيريا *S. pneumonia*

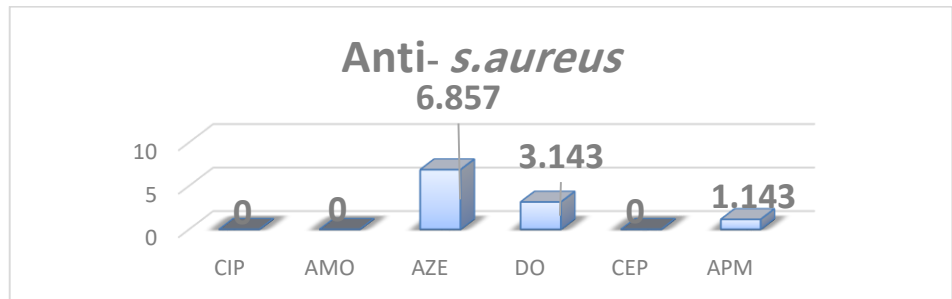


الشكل 10 : قيم الفاعلية التثبيطية للمضادات الحيوية تجاه بكتيريا *S. pneumonia*

4- في حالة المكورات العنقودية الذهبية، تثبيط المركبات المركبة حديثاً الثالثة. وأظهر المركب M₅ نشاطا مضادا عند ترکيز 12.5-100 مايكلوليت، وان المركبات M₃,M₄ اظهرت نشاطا ضد البكتيريا عند التراكيز 100-25 مايكلوليت، في حين ثبّطت المركبات المحضررة حديثاً الثالثة عند التراكيز المختلفة التي تم اختبارها على المكورات العنقودية الذهبية اختلافات كبيرة ضد جميع المضادات الحيوية المستخدمة، سيفالوسبورين، أزيثروميسين، سبروفلوكسرين، أموكسيسيكلين، دوكسيسيكلين، أمبيسيلين، في حين لم يظهر المركب سبروفلوكسرين، سيفالوسبورين، أزيثروميسين الذي تم اختباره على نفس البكتيريا، وان المضاد الحيوي أزيثروميسين هو اقوى المضادات الحيوية تجاه البكتيريا، وان دوكسيسيكلين هو اقل فاعلية من ازيثروميسين، وان المضاد أمبيسيلين كانت فعاليته قليلة جدا. انظر "الشكل 11 و 12" قيم الفاعلية التثبيطية لبعض المركبات المحضررة والمضادات الحيوية لبكتيريا *S. aureus* و "الجدول 3 و 4" و "الشكل 15 و 16".

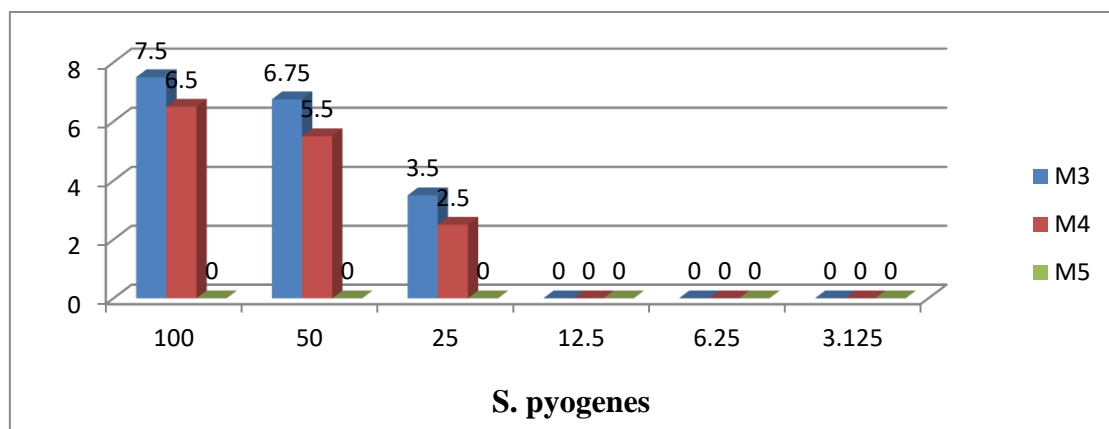


الشكل 11 : قيم الفاعلية التثبيطية للمركبات تجاه بكتيريا *S. aureus*

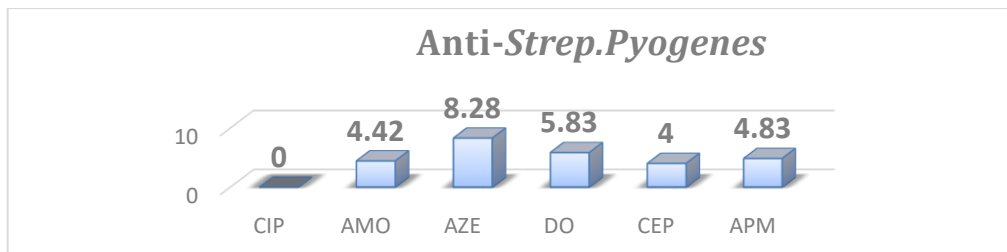


الشكل 12 : قيم الفعالية التثبيطية لبعض المضادات الحيوية لبكتيريا *S. aureus*

5 - في حالة المكورات العقدية المقيدة، تثبت المركبات المركبة حديثاً الثلاثة تطور هذا العامل الممرض بتركيز يتراوح بين 12.5-100 M₅ وانه لم يظهر نشاط مضاد للجراثيم عند جميع التراكيز. وأظهرت M₃ و M₄ نشاطاً ضد البكتيريا عند التراكيز 100-25 مايكروليتر التي تم اختبارها على المكورات العقدية المقيدة اختلافات كبيرة ضد جميع المضادات الحيوية المستخدمة، سيفالوسبورين، أزيثروميسين، سبروفلوكسسين، أموكسيسيكلين، أمبيسيلين، في حين لم يظهر المركب سبروفلوكسسين الذي تم اختباره على نفس البكتيريا، وان المضاد الحيوي أزيثروميسين هو اقوى المضادات الحيوية تجاه البكتيريا، وان دوكسيسيكلين هو اقل فعالية من ازيثروميسين، وان المضادات دوكسيسيكلين، سبروفلوكسسين، أموكسيسيكلين، أمبيسيلين كانت فعاليتهم قليلة جدا. انظر "الشكل 13 و 14" قيم الفعالية التثبيطية لبعض المركبات المحضرة والمضادات الحيوية لبكتيريا *S. pyogenes* والجدول "3 و 4" و"الشكل 15 و 16".



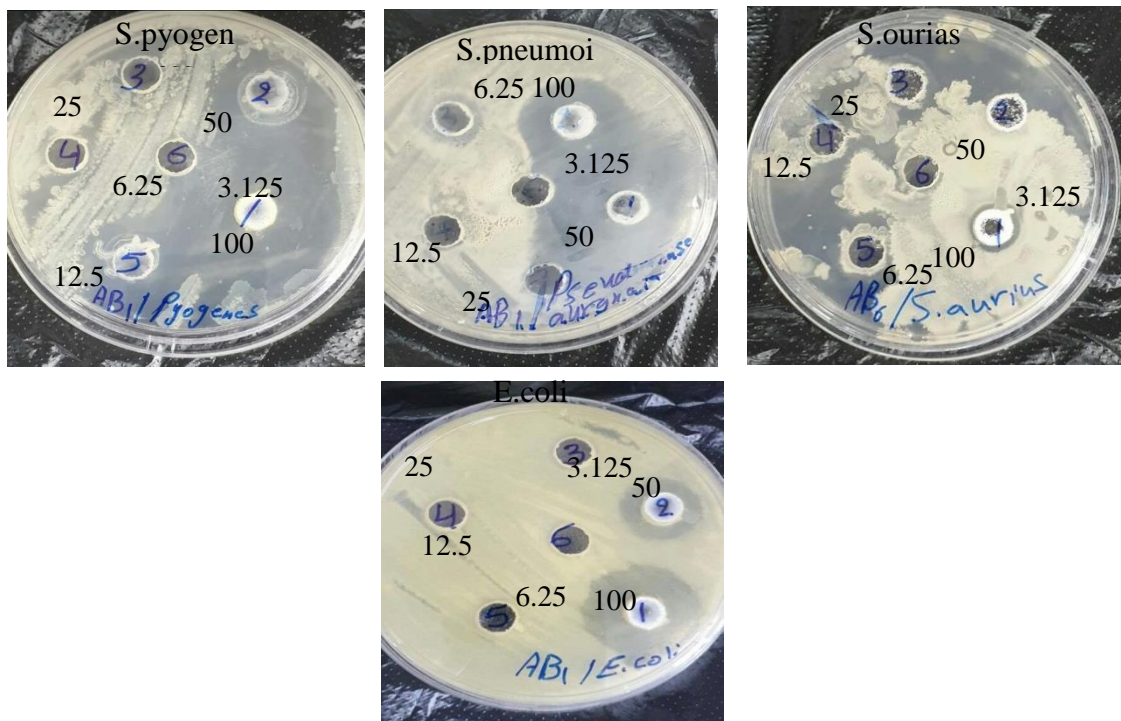
الشكل 13 : قيم الفعالية التثبيطية لمركبات تجاه بكتيريا *S. pyogenes*



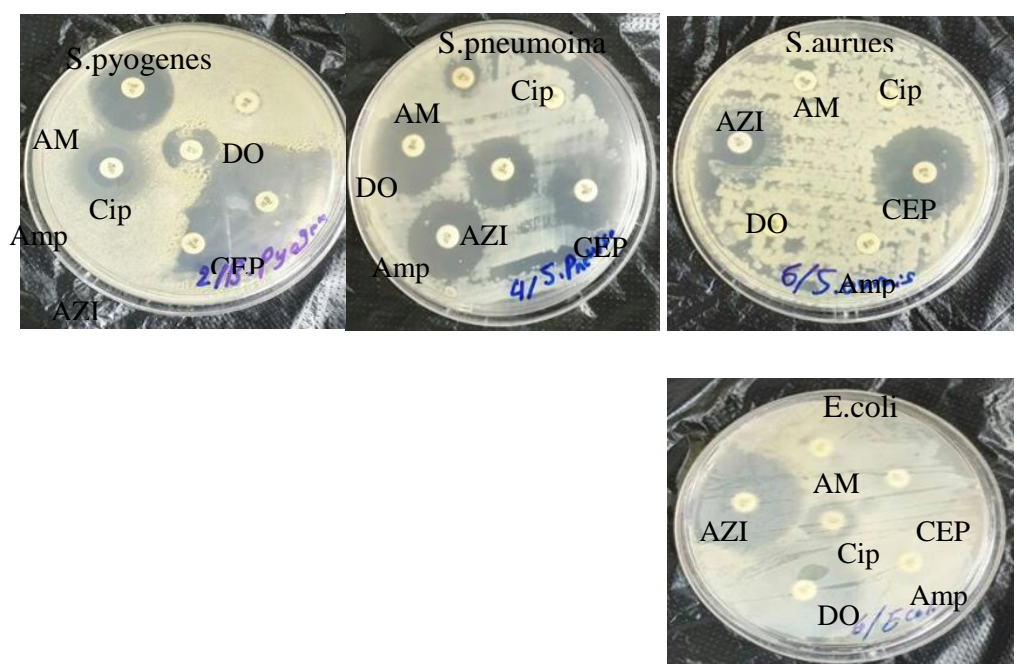
الشكل 14 : قيم الفعالية التثبيطية لبعض المضادات الحيوية لبكتيريا *S. pyogenes*

1- الموجبة لصبغة الكرام: *S. aureus*,*Streptococcus pyogenes*

2- السالبة لصبغة الكرام: *E. coli*,*streptococcus pneumoniae*



الشكل 15 : منطقة تثبيط المركبات الاصطناعية ضد بكتيريا *S.aureus* و *streptococcus pneumoniae* و *E.coli* و *Streptococcus pyogene*



الشكل 16 : فعالية تثبيط المضادات الحيوية *Amoxicillin, Ampicillin, Ciprofloxacin,Cephalosporin, S. pneumoniae ,E.coli, S. pyogenes,S. aureus* ضد بكتيريا Azithromycin and Doxycycline

الاستنتاجات

1. إن الطريقة التقليدية المستخدمة للحصول على المركبات العضوية كانت نتائجها ممتازة، لكونها اقتصادية، إذ أن هذه التقنية وفرت (الوقت، الجهد، المذيبات، العوامل المساعدة وأعطت نسب منتوج عالية)، ولهذا يمكن الاستنتاج كونها طريقة أفضل للاستخدام مع امكانية استعمالها لكميات قليلة جداً لإتمام التفاعل.

2. يتضح من خلال الدراسة الحيوية أنَّ لمعظم مركبات أميدات السلفا المحضرة فعالية مضادة للبكتيريا وأنَّ لها القدرة على تثبيط نمو البكتيريا، إذ وجد أنَّ لهذه المركبات فعالية بايولوجية عالية، لأنَّ المواد الأولية هي أدوية مستخدمة في الحقول الطبية.

References

1. Al-Mulla, A. (2017). A review: biological importance of heterocyclic compounds. *Der Pharma Chemica*, 9(13), 141-147.
2. Padmavathi, V., Subbaiah, D. R. C. V., Mahesh, K., & Lakshmi, T. R. (2007). Synthesis and Bioassay of Amino-pyrazolone, Amino-isoxazolone and Amino-pyrimidinone Derivatives. *Chemical and Pharmaceutical Bulletin*, 55(12), 1704-1709.
3. Giustra, Z. X., Ishibashi, J. S., & Liu, S. Y. (2016). Homogeneous metal catalysis for conversion between aromatic and saturated compounds. *Coordination Chemistry Reviews*, 314, 134-181.
4. Mhemeed, A. H. (2019). A review on sulpha drugs (one of the first microbial inhibitors). *Int. J. Res. Pharm. Sci.(Madurai, India)*, 10, 241-244.
5. Maren, T. H. (1976). Relations between structure and biological activity of sulfonamides. *Annual Review of Pharmacology and Toxicology*, 16(1), 309-327.
6. Boyd, A. E. (1988). Sulfonylurea receptors, ion channels, and fruit flies. *Diabetes*, 37(7), 847-850.
7. Supuran, C. T. (2017). Carbonic anhydrase inhibition and the management of hypoxic tumors. *Metabolites*, 7(3), 48.
8. Puccetti, L., Fasolis, G., Vullo, D., Chohan, Z. H., Scozzafava, A., & Supuran, C. T. (2005). Carbonic anhydrase inhibitors. Inhibition of cytosolic/tumor-associated carbonic anhydrase isozymes I, II, IX, and XII with Schiff's bases incorporating chromone and aromatic sulfonamide moieties, and their zinc complexes. *Bioorganic & Medicinal Chemistry Letters*, 15(12), 3096-3101.
9. Supuran, C. T. (2016). How many carbonic anhydrase inhibition mechanisms exist?. *Journal of enzyme inhibition and medicinal chemistry*, 31(3), 345-360.
10. Carta, F., & Supuran, C. T. (2013). Diuretics with carbonic anhydrase inhibitory action: a patent and literature review (2005–2013). *Expert opinion on therapeutic patents*, 23(6), 681-691.
11. Scozzafava, A., Supuran, C. T., & Carta, F. (2013). Antidiabetic carbonic anhydrase inhibitors: a literature and patent review. *Expert opinion on therapeutic patents*, 23(6), 725-735.
12. Capasso, C., & Supuran, C. T. (2014). Sulfa and trimethoprim-like drugs-antimetabolites acting as carbonic anhydrase, dihydropteroate synthase and dihydrofolate reductase inhibitors. *Journal of enzyme inhibition and medicinal chemistry*, 29(3), 379-387.
13. Carta, F., Mannelli, L. D. C., Pinard, M., Ghelardini, C., Scozzafava, A., McKenna, R., & Supuran, C. T. (2015). A class of sulfonamide carbonic anhydrase inhibitors with neuropathic pain modulating effects. *Bioorganic & medicinal chemistry*, 23(8), 1828-1840.
14. Chavan, A. A., & Pai, N. R. (2007). Sulfonylureas as Dual Acting Agents—Synthesis and Biological Activity. *Journal of the Chinese Chemical Society*, 54(3), 771-777.
15. Dane, E., Drees, F., Konrad, P., & Dockner, T. (1962). β -Dicarbonylverbindungen als Aminoschutzgruppen bei Peptidsynthesen. *Angewandte Chemie*, 74(21), 873-873.

16. Supuran, Claudiu. "sulfonamides." *Molecules* (2017): 22: 1-5.
17. Mok, B. L. (2008). Synthesis of functionalised sulfonamides (Doctoral dissertation, UCL (University College London)).
18. Chan, O. W., Lin, J. J., Hsia, S. H., Lin, C. Y., & Lin, K. L. (2020). Methylprednisolone pulse therapy as an adjuvant treatment of *Streptococcus pneumoniae* meningitis complicated by cerebral infarction—a case report and review of the literature. *Child's Nervous System*, 36(2), 229-233.
19. Griffith, F. (1934). The serological classification of *Streptococcus pyogenes*. *Epidemiology & Infection*, 34(4), 542-584.
20. Apaydin, S., & Török, M. (2019). Sulfonamide derivatives as multi-target agents for complex diseases. *Bioorganic & medicinal chemistry letters*, 29(16), 2042-2050.
21. Shivshankar, S., Chavan, S., & Vibhute, Y. (2016). Solvent-free synthesis of chalcones and antioxidant activity. *Journal of Advanced Chemical Sciences*, 373-375.
22. Hoffman, R. V. Structure Determination of Organic Compounds. In *Organic Chemistry* 332-294(Springer,2005). doi:10.1002/047136.ch11.
23. Venkataraman, R. Meera1, Pandiarajan, P.Devi. "Synthesis and biological activity of some novel quinazolinone derivatives." *J. Chem. Pharm. Res* (2010):2(5):461-474.
24. Donald L. Pavia., Gary M. Lampman a, George S. Kriz and James R. Vyvyan. "Introduction to spectroscopy"(2015):5:225-348.
25. Working, S. & Tests, S. crossm CLSI Methods Development and Standardization Working Susceptibility Tests. (2018), 56, 1-10 .
26. Genç, Y., Özkanca, R., & Bekdemir, Y. (2008). Antimicrobial activity of some sulfonamide derivatives on clinical isolates of *Staphylococcus aureus*. *Annals of clinical microbiology and antimicrobials*, 7(1), 1-6.
27. Özden, S., Atabey, D., Yıldız, S., & Göker, H. (2005). Synthesis and potent antimicrobial activity of some novel methyl or ethyl 1H-benzimidazole-5-carboxylates derivatives carrying amide or amidine groups. *Bioorganic & medicinal chemistry*, 13(5), 1587-1597.
28. Ranjith, P. K., Pakkath, R., Haridas, K. R., & Kumari, S. N. (2014). Synthesis and characterization of new N-(4-(4-chloro-1H-imidazol-1-yl)-3-methoxyphenyl) amide/sulfonamide derivatives as possible antimicrobial and antitubercular agents. *European journal of medicinal chemistry*, 71, 354-365..
29. Rehman, H., Qadir, A., Ali, Z., Nazir, S., Zahra, A., & Shahzady, T. G. (2017). Synthesis and characterization of novel sulfonamides derivatives and their antimicrobial, antioxidant and cytotoxicity evaluation. *Bulletin of the Chemical Society of Ethiopia*, 31(3), 491-498.
30. Tačić, A., Nikolić, V., Nikolić, L., & Savić, I. (2017). Antimicrobial sulfonamide drugs. *Advanced technologies*, 6(1), 58-71.

Synthesis, characterization of some sulfonamide derivatives and their anti-bacterial activity

Maimoonah.H. K. Alesawee^{1*}, Abdulmajeed S. H. Alsamarrai^{2*}and Aseel Mokdad Hatam Abdulwahed^{3*}

1- Department of Chemistry, College of Education , University of Samarra , Iraq (mymwnthmyd777@gmail.com)

2- Department of Chemistry, College of Applied Sciences, University of Samarra, Iraq

3- Department of Pathology, College of Applied Sciences, University of Samarra , Iraq

Article Information

Received: 19/11/2020

Accepted: 09/01/2021

Keywords:

*Sulphonamide,
antibacterial activity,
heterocyclic compounds*

Abstract

The research includes preparation of sulfa amide derivatives containing amines and evaluating their biological efficacy. The compounds prepared are sulfa amides. Some of them were diagnosed by means of IR, 1H-NMR NMR-13C techniques, and they assessed the biological effectiveness of the compounds. The measurement was done on the basis of measuring the diameter of inhibition caused by bacterial isolates on the agricultural environment and showed high inhibition of some compounds, some of which were few against bacteria. One of the compounds showed great activity against *E.coli* with an inhibition radius of 18 mm while the other compound showed efficacy against *E.coli* and *S. aureus*. Inhibition radii of 17 and 7 mm, respectively. Another compound showed activity against *S. pneumonia* with an inhibition radius of 8 mm. Others, however, did not show efficacy against *S. pneumonia* and *S. pyogenes*.
